

УДК 539.375

ТОРМОЖЕНИЕ ТРЕЩИНЫ СО СВЯЗЯМИ МЕЖДУ БЕРЕГАМИ С ПОМОЩЬЮ НАВЕДЕННОГО ТЕРМОУПРУГОГО ПОЛЯ НАПРЯЖЕНИЙ

Р. И. Кадиев, В. М. Мирсалимов

Азербайджанский технический университет, AZ1129 Баку
E-mail: irakon63@hotmail.com

Рассмотрены локальные изменения температуры вблизи конца трещины при наличии областей, в которых берега трещины взаимодействуют. Полагается, что эти области примыкают к вершине трещины, а их размеры могут быть сравнимы с размером трещины. Задача локальных изменений температуры состоит в задержке или торможении роста трещины. Краевая задача о равновесии трещины со связями между берегами при действии внешних растягивающих нагрузок, наведенного термоупругого поля напряжений и усилий в связях, препятствующих ее раскрытию, сводится к системе нелинейных сингулярных интегродифференциальных уравнений с ядром типа Коши. Из решения этой системы уравнений находятся нормальные и касательные усилия в связях. Вычисляются коэффициенты интенсивности напряжений. Рассматриваются энергетические характеристики трещины с концевой областью. Условие предельного равновесия трещины с концевой областью формулируется с учетом критерия предельной вытяжки связей.

Ключевые слова: трещины, термоупругое поле напряжений.

Постановка задачи. Создание надежных противоаварийных систем представляет собой жизненно важную задачу, особенно когда речь идет об уникальных сооружениях и безопасности людей. Одним из эффективных средств торможения роста трещин могут быть температурные и термоупругие поля [1, 2]. В механике разрушения важное значение имеет проблема “залечивания” существующей в теле трещины. Как видно из результатов работы [3], воздействие теплового источника уменьшает деформацию растягиваемой плоскости в направлении, перпендикулярном трещине, в связи с чем снижается коэффициент интенсивности напряжений в окрестности конца трещины.

Рассмотрим неограниченную упругую плоскость, ослабленную одной прямолинейной трещиной длины $2l$ в начале координат. Полагаем наличие областей, в которых берега трещины взаимодействуют, так что это взаимодействие сдерживает раскрытие трещины. Считается, что эти области примыкают к вершине трещины, а их размеры могут быть сравнимы с длиной трещины.

Берега трещины вне концевых областей свободны от внешних нагрузок. На бесконечности плоскость подвергается однородному растяжению вдоль оси ординат $\sigma_y^\infty = \sigma_0$ (рис. 1).

Для торможения развития трещины на пути ее распространения с помощью нагрева тепловым источником области S до температуры T_0 создается зона сжимающих напряжений.

Приняты следующие допущения:

- а) все термоупругие характеристики материала плоскости не зависят от температуры;
- б) материал плоскости представляет собой однородное и изотропное тело.

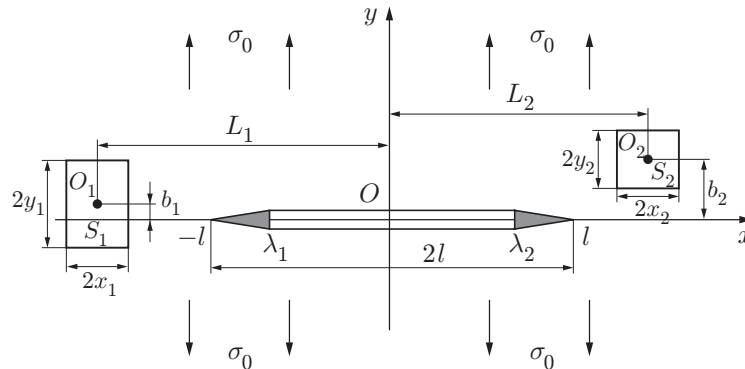


Рис. 1. Расчетная схема задачи

Будем полагать, что в момент $t = 0$ произвольная область S на пути роста трещины в плоскости мгновенно нагревается до постоянной температуры $T = T_0$. Остальная часть плоскости имеет в начальный момент нулевую температуру.

Выделим части трещины длиной d_1 и d_2 (концевые области), примыкающие к ее вершинам, в которых берега трещины взаимодействуют. Взаимодействие берегов трещины в концевых областях моделируется путем введения между берегами трещины связей (сил сцепления) с заданной диаграммой деформирования. Физическая природа таких связей и размеры концевых областей, в которых осуществляется взаимодействие берегов трещины, зависят от вида материала.

Концевые области малы по сравнению с остальной частью плоскости. Поэтому их можно мысленно удалить, заменив разрезами, поверхности которых взаимодействуют между собой по некоторому закону, соответствующему действию удаленного материала.

При действии внешней силовой и тепловой нагрузок на пластинку в связях, соединяющих берега трещины, будут возникать в общем случае нормальные ($q_y(x)$) и касательные ($q_{xy}(x)$) усилия. Следовательно, к берегам трещины в концевых областях будут приложены нормальные и касательные напряжения $q_y(x)$ и $q_{xy}(x)$ соответственно. Эти напряжения заранее неизвестны и подлежат определению в процессе решения краевой задачи механики разрушения.

Граничные условия рассматриваемой задачи имеют следующий вид:

$$\begin{aligned} \sigma_y - i\tau_{xy} &= 0 \quad \text{при } y = 0, \quad \lambda_1 < x < \lambda_2, \\ \sigma_y - i\tau_{xy} &= q_y - iq_{xy} \quad \text{при } y = 0, \quad -l \leq x \leq \lambda_1 \quad \text{и} \quad \lambda_2 \leq x \leq l, \end{aligned}$$

где напряженное состояние представлено в виде

$$\sigma_y = \sigma_{y1} + \sigma_{y0}, \quad \sigma_x = \sigma_{x1} + \sigma_{x0}, \quad \tau_{xy} = \tau_{xy1} + \tau_{xy0}.$$

Здесь σ_{x0} , σ_{y0} , τ_{xy0} — решение задачи термоупругости для плоскости без трещины.

Решение краевой задачи. Для определения напряжений σ_{x0} , σ_{y0} , τ_{xy0} решаем задачу термоупругости для сплошной плоскости. Вначале находим распределение температуры в плоскости. Для этого решается следующая краевая задача теории теплопроводности:

$$\begin{aligned} \frac{\partial T}{\partial t} &= a\Delta T, \\ T &= \begin{cases} T_0, & x, y \in S, \\ 0, & x, y \notin S, \end{cases} \end{aligned}$$

где a — температуропроводность материала плоскости; Δ — оператор Лапласа.

Пусть, для определенности, нагретые со стороны каждой вершины трещины тепловым источником области S_1 и S_2 представляют собой прямоугольники со сторонами $2x_k$ и $2y_k$ ($k = 1, 2$), а центр O_k прямоугольника S_k ($k = 1, 2$) имеет координаты (L_k, b_k) (см. рис. 1).

Распределение температуры будет иметь следующий вид:

$$T(x, y, t) = T_1(x, y, t) + T_2(x, y, t),$$

$$T_k(x, y, t) = \frac{T_0}{4} \left[\operatorname{erf} \left(\frac{x - L_k + x_k}{2\sqrt{at}} \right) + \operatorname{erf} \left(\frac{x_k - L_k - x}{2\sqrt{at}} \right) \right] \times$$

$$\times \left[\operatorname{erf} \left(\frac{y - b_k + y_k}{2\sqrt{at}} \right) + \operatorname{erf} \left(\frac{y_k + b_k - y}{2\sqrt{at}} \right) \right],$$

$$\operatorname{erf}(z) = \frac{2}{\sqrt{\pi}} \int_0^z \exp(-u^2) du.$$

Для упрощения задачи при определении температурного поля не учитывается возмущенное температурное поле, вызванное наличием трещины. В частности, при симметричном расположении областей S_k ($k = 1, 2$) относительно оси абсцисс возмущенное температурное поле будет отсутствовать.

Основные соотношения поставленной задачи должны быть дополнены уравнением, связывающим перемещения раскрытия трещины и усилия в связях. Это уравнение без потери общности можно представить в следующем виде [4, 5]:

$$(v^+ - v^-) - i(u^+ - u^-) = C_y(x, \sigma)q_y(x) - iC_x(x, \sigma)q_{xy}(x), \quad (1)$$

где функции $C_y(x, \sigma)$ и $C_x(x, \sigma)$ можно рассматривать как эффективные податливости связей, зависящие от их натяжения; $\sigma = \sqrt{q_y^2 + q_{xy}^2}$ — модуль вектора усилий в связях. При постоянных значениях C_y, C_x имеем в (1) линейный закон деформирования. В общем случае закон деформирования является нелинейным и задан.

Напряженно-деформированное состояние в бесконечной плоскости в условиях плоской задачи с разрезом вдоль оси абсцисс описывается двумя аналитическими функциями $\Phi(z)$ и $\Omega(z)$ [6]:

$$\sigma_x + \sigma_y = 2[\Phi(z) + \overline{\Phi(z)}],$$

$$\sigma_y - i\tau_{xy} = \Phi(z) + \Omega(\bar{z}) + (z - \bar{z})\overline{\Phi'(z)},$$

$$2\mu \frac{\partial}{\partial x} (u + iv) = k_0\Phi(z) - \overline{\Phi(z)} - z\overline{\Phi'(z)} - \overline{\Psi(z)},$$

$$\Omega(z) = \bar{\Phi}(z) + z\bar{\Phi}'(z) + \bar{\Psi}(z),$$

где $k_0 = 3 - 4\nu$ для плоской деформации и $k_0 = (3 - \nu)/(1 + \nu)$ для плоского напряженного состояния; ν — коэффициент Пуассона материала плоскости.

Для определения функций $\Phi(z)$ и $\Omega(z)$ имеем задачу линейного сопряжения [6]

$$[\Phi(x) + \Omega(x)]^+ + [\Phi(x) + \Omega(x)]^- = 2p(x); \quad (2)$$

$$[\Phi(x) - \Omega(x)]^+ - [\Phi(x) - \Omega(x)]^- = 0, \quad (3)$$

где $-l \leq x \leq l$, x — аффикс точек контура трещины с концевыми зонами;

$$p(x) = \begin{cases} 0 & \text{на свободных берегах трещины,} \\ q_y - iq_{xy} & \text{на берегах концевых зон трещины.} \end{cases}$$

Решение краевой задачи (2), (3) ищем в виде

$$\Phi(z) = \Phi_0(z) + \Phi_1(z), \quad \Omega(z) = \Omega_0(z) + \Omega_1(z).$$

Здесь потенциалы $\Phi_0(z)$ и $\Omega_0(z)$ описывают термоупругое состояние сплошной плоскости под действием теплового источника.

Комплексные потенциалы $\Phi_1(z)$ и $\Omega_1(z)$ должны быть определены из краевых условий (2), (3). Для нахождения функций $\Phi_1(z)$ и $\Omega_1(z)$ представим граничные условия (2), (3) в виде

$$[\Phi_1(x) + \Omega_1(x)]^+ + [\Phi_1(x) + \Omega_1(x)]^- = 2p(x) + 2q_0(x); \quad (4)$$

$$[\Phi_1(x) - \Omega_1(x)]^+ - [\Phi_1(x) - \Omega_1(x)]^- = 0, \quad (5)$$

где $2q_0(x) = -[\Phi_0(x) + \Omega_0(x)]^+ - [\Phi_0(x) + \Omega_0(x)]^- = \sigma_{y_0}(x) - i\tau_{xy_0}$.

При $z \rightarrow \infty$ $\Phi_0(z) \rightarrow 0$, $\Phi(z) \rightarrow \Phi_1(z) \rightarrow \sigma_0/4$, $\Omega_0(z) \rightarrow 0$, $\Omega(z) \rightarrow \Omega_1(z) \rightarrow 3\sigma_0/4$.

На основе решения задачи термоупругости для сплошной плоскости имеем

$$2q_0(x, 0) = \sigma_{y_0}(x, 0) - i\tau_{xy_0}(x, 0).$$

Здесь $\sigma_{y_0} = \sum_{k=1}^n \sigma_{y_0k}$, $\tau_{xy_0} = \sum_{k=1}^n \tau_{xy_0k}$, $n = 2$,

$$\begin{aligned} \sigma_{y_0k} = & -\frac{\mu(1+\nu)\alpha T_0}{4\sqrt{\pi}} \left\{ 4\sqrt{\pi}A(x, y) + \frac{4}{\sqrt{\pi}} \left[\operatorname{arctg} \left(\frac{y - b_k + y_k}{x - L_k + x_k} \right) + \operatorname{arctg} \left(\frac{y_k + b_k - y}{x_k + L_k - x} \right) + \right. \right. \\ & \left. \left. + \operatorname{arctg} \left(\frac{y_k + b_k - y}{x - L_k + x_k} \right) + \operatorname{arctg} \left(\frac{y - b_k + y_k}{x_k + L_k - x} \right) - \right. \right. \\ & \left. \left. - \int_0^t \frac{1}{\tau\sqrt{a\tau}} \left[(x - L_k + x_k) \exp \left(-\frac{(x - L_k + x_k)^2}{4a\tau} \right) + (x_k + L_k - x) \exp \left(-\frac{(x_k + L_k - x)^2}{4a\tau} \right) \right] \times \right. \right. \\ & \left. \left. \times \left[\operatorname{erf} \left(\frac{y - b_k + y_k}{2\sqrt{a\tau}} \right) + \operatorname{erf} \left(\frac{y_k + b_k - y}{2\sqrt{a\tau}} \right) \right] d\tau \right\}, \\ \tau_{xy_0k} = & -\frac{\mu(1+\nu)\alpha T_0}{2\pi} \left\{ \ln \frac{(x - x_k - L_k)^2 + (y - b_k + y_k)^2}{(x - x_k - L_k)^2 + (y - y_k - b_k)^2} + \right. \\ & \left. + \ln \frac{(x - L_k + x_k)^2 + (y - y_k - b_k)^2}{(x - L_k + x_k)^2 + (y - b_k + y_k)^2} - \right. \\ & \left. - \int_0^t \frac{1}{\tau} \left[\exp \left(-\frac{(x - L_k + x_k)^2}{4a\tau} \right) - \exp \left(-\frac{(x_k + L_k - x)^2}{4a\tau} \right) \right] \times \right. \\ & \left. \times \left[\exp \left(-\frac{(y - b_k + y_k)^2}{4a\tau} \right) - \exp \left(-\frac{(y_k + b_k - y)^2}{4a\tau} \right) \right] d\tau \right\}, \end{aligned}$$

где

$$A(x, y) = \begin{cases} 1, & x, y \in S_k, \\ 0, & x, y \notin S_k; \end{cases}$$

μ — модуль сдвига материала плоскости; α — коэффициент линейного температурного расширения.

Общие решения краевых задач (4) и (5) будут иметь вид [6]

$$\Phi_1(z) - \Omega_1(z) = -\sigma_0/2,$$

$$\Phi_1(z) + \Omega_1(z) = \frac{1}{\pi i \sqrt{z^2 - l^2}} \int_{-l}^l \frac{\sqrt{t^2 - l^2} [p(t) + q_0(t)]}{t - z} dt + \frac{2F(z)}{\sqrt{z^2 - l^2}},$$

где $F(z) = c_0 z + c_1$, а под функцией $(z^2 - l^2)^{-1/2}$ подразумевается ветвь, имеющая при больших $|z|$ вид

$$(z^2 - l^2)^{-1/2} = \frac{1}{z} + \frac{l^3}{2z^3} + \dots$$

Окончательно для комплексных потенциалов $\Phi_1(z)$ и $\Omega_1(z)$ имеем

$$\Phi_1(z) = \frac{1}{2\pi i \sqrt{z^2 - l^2}} \int_{-l}^l \frac{\sqrt{t^2 - l^2} [p(t) + q_0(t)]}{t - z} dt + \frac{F(z)}{\sqrt{z^2 - l^2}} - \frac{\sigma_0}{4}; \quad (6)$$

$$\Omega_1(z) = \frac{1}{2\pi i \sqrt{z^2 - l^2}} \int_{-l}^l \frac{\sqrt{t^2 - l^2} [p(t) + q_0(t)]}{t - z} dt + \frac{F(z)}{\sqrt{z^2 - l^2}} + \frac{\sigma_0}{4}.$$

Для определения коэффициента c_0 необходимо функцию (6) разложить в ряд по степеням z в окрестности точки $|z| \rightarrow \infty$ и сопоставить это разложение с выражением

$$\Phi_1(z) = \sigma_0/4 + O(1/z^2).$$

В результате получим $c_0 = \sigma_0/2$. Постоянную c_1 определяем из условия однозначности смещений [6]:

$$\int_{-l}^l [\Phi_1^+(x) - \Phi_1^-(x)] dx = 0.$$

Для окончательного определения комплексных потенциалов $\Phi_1(z)$ и $\Omega_1(z)$ необходимо найти усилия q_y и q_{xy} в связях. Используя соотношения $2\mu \partial(u + iv)/\partial x = k_0 \Phi(z) - \Omega(\bar{z}) - (z - \bar{z})\bar{\Phi}'(z)$ и граничные значения функций $\Phi_1(z)$, $\Omega_1(z)$ и $F(z)$, получим на отрезке $|x| \leq l$ следующее равенство:

$$\Phi_1^+(x) - \Phi_1^-(x) = \frac{2\mu}{1 + k_0} \left[\frac{\partial}{\partial x} (u^+ - u^-) + i \frac{\partial}{\partial x} (v^+ - v^-) \right]. \quad (7)$$

Используя формулы Сохоцкого — Племеля [7], с учетом формулы (6) находим

$$\Phi_1^+(x) - \Phi_1^-(x) = -\frac{i}{\pi \sqrt{l^2 - x^2}} \left[\int_{-l}^l \frac{\sqrt{l^2 - t^2} [p(t) + q_0(t)]}{t - x} dt + 2(c_0 x + c_1) \right]. \quad (8)$$

Подставив выражение (8) в левую часть уравнения (7), с учетом соотношения (1) после некоторых преобразований получаем систему нелинейных интегродифференциальных уравнений относительно неизвестных функций $q_y(x)$ и $q_{xy}(x)$:

$$\begin{aligned} -\frac{1}{\pi \sqrt{l^2 - x^2}} \left[\int_{-l}^l \frac{\sqrt{l^2 - t^2}}{t - x} q_y(t) dt + \int_{-l}^l \frac{\sqrt{l^2 - t^2}}{t - x} \sigma_{y_0}(t) dt + 2(c_0 x + c_1) \right] = \\ = \frac{2\mu}{1 + k_0} \frac{\partial}{\partial x} (C_y(x, \sigma) q_y(x)); \quad (9) \end{aligned}$$

$$-\frac{1}{\pi\sqrt{l^2-x^2}} \left[\int_{-l}^l \frac{\sqrt{l^2-t^2}}{t-x} q_{xy}(t) dt + \int_{-l}^l \frac{\sqrt{l^2-t^2}}{t-x} \tau_{xy_0}(t) dt \right] = \frac{2\mu}{1+k_0} \frac{\partial}{\partial x} (C_y(x, \sigma) q_{xy}(x)). \quad (10)$$

Напомним, что

$$I_1 = \int_{-l}^l \frac{\sqrt{l^2-t^2}}{t-x} q_y(t) dt = \int_{-l}^{\lambda_1} \frac{\sqrt{l^2-t^2}}{t-x} q_y(t) dt + \int_{\lambda_2}^l \frac{\sqrt{l^2-t^2}}{t-x} q_y(t) dt,$$

$$I_2 = \int_{-l}^l \frac{\sqrt{l^2-t^2}}{t-x} q_{xy}(t) dt = \int_{-l}^{\lambda_1} \frac{\sqrt{l^2-t^2}}{t-x} q_{xy}(t) dt + \int_{\lambda_2}^l \frac{\sqrt{l^2-t^2}}{t-x} q_{xy}(t) dt.$$

Методика численного решения и анализ. Поставленная задача, как и следовало ожидать, распалась на две независимые задачи: для трещины нормального разрыва — уравнение (9) и для трещины поперечного сдвига — уравнение (10). Каждое из этих уравнений представляет собой нелинейное интегродифференциальное уравнение с ядром типа Коши и может быть решено только численно. Для их решения можно использовать коллокационную схему с аппроксимацией неизвестных функций. В случае, когда закон деформирования связей нелинейный, для определения усилий q_y , q_{xy} в связях целесообразно использовать итерационную схему, подобную методу упругих решений [8].

Чтобы избежать решения интегродифференциальных уравнений, представим (9) и (10) в следующем виде:

$$-\frac{1+k_0}{2\mu} \int_{-l}^x Q_1(x) dx = C_y(x, \sigma) q_y(x), \quad -\frac{1+k_0}{2\mu} \int_{-l}^x Q_2(x) dx = C_x(x, \sigma) q_{xy}(x). \quad (11)$$

Здесь

$$Q_1(x) = -\frac{1}{\pi\sqrt{l^2-x^2}} \left[\int_{-l}^l \frac{\sqrt{l^2-t^2}}{t-x} q_y(t) dt + \int_{-l}^l \frac{\sqrt{l^2-t^2}}{t-x} \sigma_{y_0}(t) dt + 2(c_0x + c_1) \right],$$

$$Q_2(x) = -\frac{1}{\pi\sqrt{l^2-x^2}} \left[\int_{-l}^l \frac{\sqrt{l^2-t^2}}{t-x} q_{xy}(t) dt + \int_{-l}^l \frac{\sqrt{l^2-t^2}}{t-x} \tau_{xy_0}(t) dt \right].$$

Разобьем отрезок $(-l, l)$ на M узловых точек t_m ($m = 1, 2, \dots, M$) и потребуем выполнения условий (11) в узловых точках. В результате получим вместо каждого из уравнений (11) алгебраические системы из M_1 уравнений для определения приближенных значений $q_y(t_m)$ и $q_{xy}(t_m)$ ($m = 1, 2, \dots, M_1$) соответственно:

$$\begin{aligned} CQ_1(t_1) &= C_y(t_1)q_y(t_1), \\ C(Q_1(t_1) + Q_1(t_2)) &= C_y(t_2)q_y(t_2), \\ &\dots\dots\dots \\ C \sum_{m=1}^{M_1} Q_1(t_m) &= C_y(t_{M_1})q_y(t_{M_1}); \end{aligned} \quad (12)$$

$$\begin{aligned}
 CQ_2(t_1) &= C_x(t_1)q_{xy}(t_1), \\
 C(Q_2(t_1) + Q_2(t_2)) &= C_x(t_2)q_{xy}(t_2), \\
 &\dots\dots \\
 C \sum_{m=1}^{M_1} Q_2(t_m) &= C_x(t_{M_1})q_{xy}(t_{M_1}),
 \end{aligned} \tag{13}$$

где $C = -\frac{1+k_0}{2\mu} \frac{\pi l}{M}$; M_1 — число узловых точек, принадлежащих концевым зонам трещины.

При получении алгебраических систем все интервалы интегрирования были приведены к одному интервалу $[-1, 1]$, а затем интегралы были заменены конечными суммами с помощью квадратурных формул типа распределения Гаусса.

При рассмотрении в частном случае линейно-упругих связей системы (12) и (13) называются линейными, и для их численного решения использовался метод Гаусса с выбором главного элемента. После решения алгебраических систем (12) и (13) вычислялись коэффициенты интенсивности напряжений.

Согласно принципу суперпозиций коэффициенты интенсивности напряжений K_I и K_{II} при наличии связей (сил сцепления) в концевой зоне трещины удобно представить в следующем виде:

$$K_I - iK_{II} = (K_I^H + K_I^C) - i(K_{II}^H + K_{II}^C), \tag{14}$$

где K_I^H, K_{II}^H — коэффициенты интенсивности напряжений от действия силовой и тепловой нагрузок; K_I^C, K_{II}^C — коэффициенты интенсивности напряжений от действия напряжений, возникающих в концевой зоне трещины.

По известным формулам [9] находим для левого конца трещины

$$\begin{aligned}
 K_I^H &= \sigma_0 \sqrt{\pi l} + \frac{1}{\sqrt{\pi l}} \int_{-l}^l \sigma_{y_0}(x) \sqrt{\frac{l-x}{x+l}} dx, & K_I^C &= \frac{1}{\sqrt{\pi l}} \int_{-l}^l q_y(x) \sqrt{\frac{l-x}{x+l}} dx, \\
 K_{II}^H &= \frac{1}{\sqrt{\pi l}} \int_{-l}^l \tau_{xy_0}(x) \sqrt{\frac{l-x}{x+l}} dx, & K_{II}^C &= \frac{1}{\sqrt{\pi l}} \int_{-l}^l q_{xy}(x) \sqrt{\frac{l-x}{x+l}} dx.
 \end{aligned} \tag{15}$$

Аналогично для правого конца трещины имеем

$$\begin{aligned}
 K_I^H &= \sigma_0 \sqrt{\pi l} + \frac{1}{\sqrt{\pi l}} \int_{-l}^l \sigma_{y_0}(x) \sqrt{\frac{x+l}{l-x}} dx, & K_I^C &= \frac{1}{\sqrt{\pi l}} \int_{-l}^l q_y(x) \sqrt{\frac{x+l}{l-x}} dx, \\
 K_{II}^H &= \frac{1}{\sqrt{\pi l}} \int_{-l}^l \tau_{xy_0}(x) \sqrt{\frac{x+l}{l-x}} dx, & K_{II}^C &= \frac{1}{\sqrt{\pi l}} \int_{-l}^l q_{xy}(x) \sqrt{\frac{x+l}{l-x}} dx.
 \end{aligned} \tag{16}$$

Рассмотрим энергетические характеристики для трещины со связями между берегами. Независимо от формы закона деформирования связей, скорость высвобождения энергии деформации определяется соотношением [2, 9]

$$G_B = (1 - \nu) K_{CB}^2 / (2\mu), \tag{17}$$

где $K_{CB} = \sqrt{K_I^2 + K_{II}^2}$ — модуль коэффициентов интенсивности напряжений при наличии связей в концевой зоне трещины.

Запишем выражение для скорости потребления энергии деформации связями в концевой зоне трещины:

$$G_n = \frac{1}{b} \frac{\partial U_n}{\partial l}, \quad U_n = b \int_{\lambda_k}^l f(u) dx, \quad f(u) = \int_0^{v(x)} q_y(v) dv + \int_0^{u(x)} q_{xy}(u) du, \quad (18)$$

где b — толщина плоскости; U_n — работа по деформированию связей; $f(u)$ — плотность энергии деформации связей в концевой зоне трещины.

Из соотношения (18), а также учитывая, что

$$v^+(l) - v^-(l) = 0, \quad u^+(l) - u^-(l) = 0,$$

получим [5]

$$G_n = b \int_{l-\lambda_k}^l \frac{\partial}{\partial l} (v^+ - v^-) q_y(x) dx + b \int_{l-\lambda_k}^l \frac{\partial}{\partial l} (u^+ - u^-) q_{xy}(x) dx. \quad (19)$$

Как известно, состоянию предельного равновесия соответствует выполнение условия

$$G_{\text{в}} = G_{\text{п}}. \quad (20)$$

Условие (20) является необходимым, но не достаточным для предельно-равновесного состояния трещины с концевой зоной. Следовательно, для определения предельно-равновесного состояния вершины трещины и концевой зоны необходимо ввести дополнительное критическое условие. В качестве такого дополнительного условия принимаем критическое раскрытие трещины. Принимаем, что разрыв связей на краю концевой зоны ($x_0 = \lambda_k$) происходит при выполнении условия

$$V(x_0) = \sqrt{v^2(x_0) + u^2(x_0)} = \delta_k, \quad (21)$$

где δ_k — предельная вытяжка (длина) связей; $v = v^+ - v^-$; $u = u^+ - u^-$. Совместное решение уравнений (20), (21) дает возможность (при заданной длине трещины и характеристиках связей) найти критическую внешнюю нагрузку и размер концевой зоны $d_k = l - |\lambda_k|$ для предельно-равновесного состояния вершины трещины и края концевой зоны. Скорость потребления энергии деформации $G_k(d_k, l)$, найденная из этого решения, является энергетической характеристикой сопротивления разрушению, т. е. $G_k = G_n(d_k, l)$.

На основании сказанного для заданных размеров трещины и концевой зоны, используя предельные значения δ_k и G_k , можно выделить режимы равновесия и роста трещины при монотонном нагружении.

Если выполняются условия $G_{\text{в}} \geq G_k$, $V(x_0) < \delta_k$ для заданного размера концевой зоны, то происходит продвижение вершины трещины с одновременным увеличением длины концевой зоны без разрыва связей.

Этот этап развития трещины можно считать процессом приспособляемости к заданному уровню внешних нагрузок. Рост вершины трещины с одновременным разрывом связей на краю концевой зоны будет происходить при выполнении условий $G_{\text{в}} \geq G_k$, $V(x_0) \geq \delta_k$. Так, например, при выполнении неравенств $G_{\text{в}} < G_k$, $V(x_0) \geq \delta_k$ происходит разрыв связей без продвижения вершины трещины и размер концевой зоны сокращается, стремясь к критическому значению для данного уровня нагрузки.

Наконец, при выполнении условий $G_{\text{в}} < G_k$, $V(x_0) < \delta_k$ положения вершины трещины и концевой зоны не будут изменяться.

Таким образом, анализ показывает, что величина внешней нагрузки и критические параметры δ_k , G_k определяют характер разрушения, а именно:

- рост вершины трещины с продвижением концевой зоны;
- сокращение размера концевой зоны без роста вершины трещины;
- рост вершины трещины с одновременным разрывом связей на краю концевой зоны.

В случае нелинейного закона деформирования связей для определения усилий в концевых зонах используется итерационный алгоритм, подобный методу упругих решений [8].

Принимается, что закон деформирования межчастичных связей (сил сцепления) является линейным при $V \leq V_*$.

Первый шаг итерационного процесса вычислений состоит в решении систем уравнений (12), (13) для линейно-упругих межчастичных связей. Последующие итерации выполняются только в случаях, когда на части концевой зоны имеет место соотношение $V(x) > V_*$. Для таких итераций решается система уравнений в каждом приближении для квазиупругих связей с эффективной податливостью, переменной вдоль концевой зоны трещины и зависящей от величины модуля вектора усилий в связях, полученного на предыдущем шаге расчета. Расчет эффективной податливости проводится подобно определению текущего модуля в методе переменных параметров упругости [10]. Процесс последовательных приближений заканчивается, как только усилия вдоль концевой зоны, полученные на двух последовательных итерациях, будут мало отличаться друг от друга.

Нелинейная часть кривой деформирования связей представлялась в форме билинейной зависимости [5], восходящий участок которой соответствовал упругому деформированию связей ($0 < V(x) \leq V_*$) с их максимальным натяжением. При $V(x) > V_*$ закон деформирования описывался нелинейной зависимостью, определяемой точками (V_*, σ_*) и (δ_k, σ_k) . Причем при $\sigma_k \geq \sigma_*$ имеем возрастающую линейную зависимость (линейное упрочнение, соответствующее упругопластической деформации связей).

Таким образом, билинейная зависимость между натяжением связи $\sigma(x)$ и ее вытяжкой $V(x)$ была представлена в [5] в виде

$$\sigma(V) = \begin{cases} V(x)/C(x), & 0 \leq V(x) \leq V_*, \\ \sigma_k + (\sigma_* - \sigma_k)(\delta_k - V(x))/(\delta_k - V_*), & V_* < V(x) \leq \delta_k, \end{cases}$$

где $C(x) = C_y(x) = C_x(x)$ — эффективная податливость связей в точке концевой области с координатой x . Очевидно, что если податливости упругих связей изменяются вдоль концевой зоны трещины, то эффективная податливость $C(x)$ тоже будет переменной, что соответствует изменению закона деформирования связей вдоль концевой зоны трещины.

На рис. 2 приведены графики распределения нормальных усилий в связях концевых зон трещины для следующих значений свободных параметров:

$$\begin{aligned} t_* = 4at/L_1^2 = 10, \quad x_1/L_1 = 0,75, \quad y_1/L_1 = 0,5, \quad b_1/L_1 = 0,2; \\ \nu = 0,3, \quad x_2/L_2 = 0,7, \quad y_2/L_2 = 0,6, \quad b_2/L_2 = 0,3, \quad L_1 = L_2. \end{aligned}$$

Расчеты показывают, что наличие температурных напряжений, наведенных тепловым источником, уменьшает значения коэффициентов интенсивности напряжений, усилий в связях между берегами и раскрытие трещины. При линейном законе деформирования связей усилия в них всегда имеют максимальные значения на краю концевой зоны. Аналогичная картина наблюдается и для величин раскрытия трещин, а именно: на краю концевой зоны оно максимально при линейном и нелинейном законах деформирования, причем с увеличением относительной податливости связей раскрытие трещины возрастает.

На рис. 3 представлены графики зависимости относительного модуля коэффициентов интенсивности напряжений $K_0 = K_{св}/K^H$ ($K^H = \sqrt{(K_I^H)^2 + (K_{II}^H)^2}$) (который можно

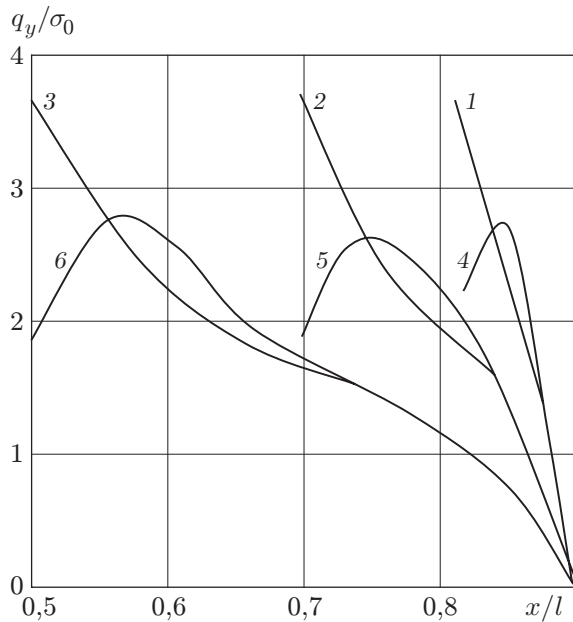


Рис. 2

Рис. 2. Зависимости распределения нормальных усилий в связях концевых зон трещины:

кривые 1–3 соответствуют линейной связи, 4–6 — билинейной зависимости; $d/l = 0,15$ (1, 4), 0,3 (2, 5), 0,5 (3, 6)

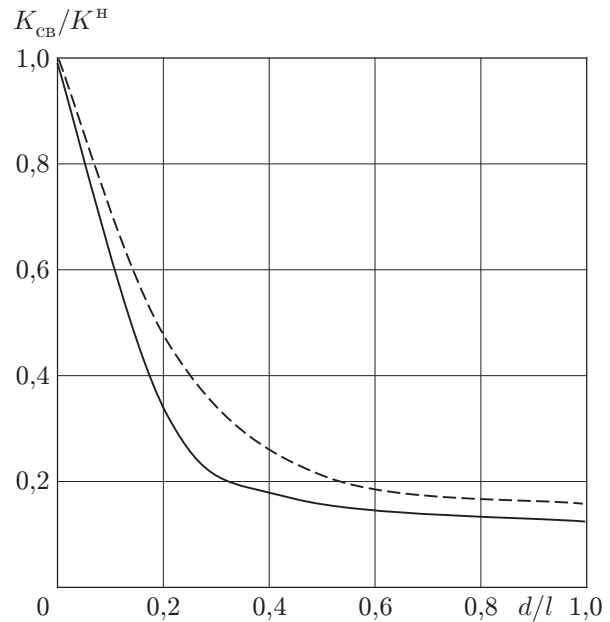


Рис. 3

Рис. 3. Зависимости относительного модуля коэффициентов интенсивности напряжений от размера концевой зоны трещины

рассматривать как коэффициент упрочнения) от размера концевой зоны трещины в плоскости. Здесь сплошная кривая соответствует правому концу трещины, а штриховая — левому концу трещины. Расчеты показывают, что при уменьшении относительной податливости коэффициент упрочнения снижается.

Анализ предельно-равновесного состояния плоскости при наличии трещины со связями в концевых зонах и действии температурных напряжений, наведенных с помощью тепловых источников, сводится к параметрическому исследованию решения алгебраических систем (12), (13) при различных законах деформирования связей, размерах концевых областей трещин, теплофизических и упругих постоянных материала плоскости. Непосредственно из решения полученных алгебраических систем в каждом приближении определяются нормальные и касательные усилия в связях и раскрытие трещины. Раскрытие трещины в пределах концевых зон можно также определять согласно соотношению (1). Значения коэффициентов интенсивности напряжений, скоростей высвобождения и поглощения энергии вычисляются по формулам (14)–(16), (17) и (18) соответственно.

Следуя работе [11] и другим, можно было бы считать, что усилия взаимодействия берегов трещины (силы сцепления) распределены так, что суммарный коэффициент интенсивности напряжений, определяемый как разность между коэффициентами интенсивности напряжений от действия внешних и тепловых нагрузок и коэффициентом интенсивности напряжений от сил сцепления, приложенных в концевых зонах трещин, равен нулю. В случае принятия такой модели изложенная выше расчетная схема решения задачи сохраняется, при этом, однако, размеры концевых зон трещины со связями заранее неизвестны и подлежат определению. Для их определения используется постулат уничтожения особенно-

стей в распределении напряжений, т. е. условие равенства нулю суммарного коэффициента интенсивности напряжений. Таким образом, к основным разрешающим уравнениям добавляются еще условия конечности напряжений для окрестности каждой вершины трещины.

ЛИТЕРАТУРА

1. **Финкель В. М.** Физические основы торможения разрушения. М.: Металлургия, 1977.
2. **Партон В. З., Морозов Е. М.** Механика упругопластического разрушения. М.: Наука, 1985.
3. **Кадиев Р. И., Мирсалимов В. М.** Влияние теплового источника на динамику роста трещины // Вестн. Даг. гос. ун-та. 2001. № 4. С. 69–73.
4. **Гаджиев В. Д., Мирсалимов В. М.** Предельно-равновесное состояние детали типа втулки при наличии трещин со связями между берегами // Оптимальное проектирование механических систем. Баку: Элм, 1999. С. 50–63.
5. **Гольдштейн Р. В., Перельмутер М. Н.** Трещина на границе соединения материалов со связями между берегами // Изв. РАН. Механика твердого тела. 2001. № 1. С. 94–112.
6. **Мусхелишвили Н. И.** Некоторые основные задачи математической теории упругости. М.: Наука, 1966.
7. **Гахов Ф. Д.** Краевые задачи. М.: Наука, 1977.
8. **Ильюшин А. А.** Пластичность. М.; Л.: Гостехтеоретиздат, 1948.
9. **Черепанов Г. П.** Механика хрупкого разрушения. М.: Наука, 1974.
10. **Биргер И. А.** Общие алгоритмы решения задач теории упругости, пластичности и ползучести // Успехи механики деформируемых сред. М.: Наука, 1975. С. 51–73.
11. **Баренблатт Г. И.** Математическая теория равновесных трещин, образующихся при хрупком разрушении // ПМТФ. 1961. № 4. С. 3–56.
12. **Гольдштейн Р. В., Перельмутер М. Н.** Рост трещины по границе соединения материалов // Проблемы механики: Сб. статей к 90-летию со дня рождения А. Ю. Ишлинского. М.: Физматлит, 2003. С. 221–238.

*Поступила в редакцию 8/X 2003 г.,
в окончательном варианте — 22/IV 2004 г.*